

## Hinweis

Die vorliegende Lösung wurde im Rahmen der jeweiligen Lehrveranstaltung an der Universität Bonn erstellt. Sofern im oberen Teil der ersten Seite oder auf der unten angegebenen Webseite nicht anders vermerkt, wurde diese Lösung von mir, Marvin Zanke, alleine angefertigt und eingereicht. Bei allem in einer anderen Farbe als dem üblichen Blau handelt es sich in der Regel um Korrekturen von mir oder des Tutors. Für mehr Informationen und meine gesamten Unterlagen, siehe:

<https://www.physics-and-stuff.com/>

**Ich erhebe keinen Anspruch auf Richtigkeit und Vollständigkeit der vorliegenden Lösungen! Dies gilt ebenso für obengenannte Korrekturen.**

Dieses Werk von [Marvin Zanke](#) ist lizenziert unter einer [Creative Commons Namensnennung – Nicht-kommerziell – Weitergabe unter gleichen Bedingungen 4.0 International Lizenz](#).

1. Kalium hat die Ordnungszahl 19. Das 19. Elektron ist das Valenzelektron in der 4s-Schale, da die 18 Elektronen alle anderen Niveaus vollständig ausfüllen und 4s das ~~nächste~~ energienächste (geringste) ist. ✓ => [AR] 4s 2s 1s

Da wir über elektrische Dipolübergänge reden muss gelten:

$$\Delta l = \pm 1, \quad \Delta j = 0, \pm 1 \quad \checkmark$$

$$E_{n,l} = -\frac{1}{2} \alpha^2 m_e c^2 \frac{1}{(n - s_l)^2} \quad \checkmark$$

$$\begin{aligned} \Delta E &= E_{n',l'} - E_{n,l} = -\frac{1}{2} \alpha^2 m_e c^2 \left( \frac{1}{(n' - s_{l'})^2} - \frac{1}{(n - s_l)^2} \right) \\ &= +\frac{1}{2} \alpha^2 m_e c^2 \left( \frac{1}{(n - s_l)^2} - \frac{1}{(n' - s_{l'})^2} \right) \end{aligned}$$

$$E_{ph} = h \frac{c}{\lambda}$$

$$\Leftrightarrow h \frac{c}{\lambda} = \frac{1}{2} \alpha^2 m_e c^2 \left( \frac{1}{(n - s_l)^2} - \frac{1}{(n' - s_{l'})^2} \right)$$

$$\Leftrightarrow \underbrace{\frac{1}{(n - s_l)^2} - \frac{1}{(n' - s_{l'})^2}}_{=: k} = \frac{2h}{\alpha^2 m_e c} \cdot \frac{1}{\lambda}$$

$$\lambda = 769,9 \text{ nm}$$

$$k = 0,1183$$

$$\lambda = 766,5 \text{ nm}$$

$$k = 0,1188$$

$$\lambda = 404,7 \text{ nm}$$

$$k = 0,2251 \quad (*)$$

$$\lambda = 404,4 \text{ nm}$$

$$k = 0,2252$$

$$\lambda = 344,7 \text{ nm}$$

$$k = 0,2642$$

$$\lambda = 344,8 \text{ nm}$$

$$k = 0,2643$$

Für den 4s Zustand gilt:  $n=4, l=0, s=1/2, j=1/2$

Für angeregte Zustände gibt es zwei mögliche Werte für

$j: l-s$  und  $l+s$ . In unserem Fall betrachten wir  $l=1 \hat{=} p$

und damit  $f=1/2, 3/2 \Rightarrow$

$$4s \rightarrow 4p \quad \checkmark$$

$$4s \rightarrow 5p$$

$$4s \rightarrow 6p$$



Für die Quantenzahlen gilt:

$$\frac{1}{(4-s_p)^2} - \frac{1}{(4-s_p)^2} = \frac{0,1183 + 0,1188}{2} = 0,11855 \quad \textcircled{I}$$

$$\frac{1}{(4-s_p)^2} - \frac{1}{(5-s_p)^2} = \frac{0,2251 + 0,2252}{2} = 0,22515 \quad \textcircled{II}$$

$$\frac{1}{(4-s_p)^2} - \frac{1}{(6-s_p)^2} = \frac{0,2642 + 0,2645}{2} = 0,26435 \quad \textcircled{III}$$

$\textcircled{I} - \textcircled{II}$ :

$$-\frac{1}{(4-s_p)^2} + \frac{1}{(5-s_p)^2} = -0,1066$$

$$\Rightarrow s_p = 1,78 \text{ oder } 4,50 \quad (\text{Mathematisch})$$

$\textcircled{I} - \textcircled{III}$  analog:  $s_p = 1,77 \text{ oder } 4,96$

$\textcircled{II} - \textcircled{III}$  analog:  $s_p = 1,74 \text{ oder } 5,55$

$$\Rightarrow s_p = \frac{1,78 + 1,77 + 1,74}{3} = 1,76 \quad \checkmark$$

$s_p$  einsetzen in  $\textcircled{I}$  liefert:  $s_s = 2,33 \text{ oder } 5,77$

"  $\textcircled{II}$  " "  $s_s = 2,33 \text{ oder } 5,77$

"  $\textcircled{III}$  " "  $s_s = 2,33 \text{ oder } 5,77$

$\Rightarrow s_s = 2,33 \quad \checkmark$  weil  $5,77$  nicht physikalisch ist (größer als  $n$ !)

Für die nächsten beiden Übergänge gilt:

$$\lambda = \frac{hc}{E_n} = \frac{hc}{2d^2 m_e c^2 \left( \frac{1}{(n-s_p)^2} - \frac{1}{(n-s_p)^2} \right)} = \begin{matrix} 282,727 \text{ nm} & \text{für } n=7 \\ 273,6 \text{ nm} & \text{für } n=8 \end{matrix}$$

*UV*  
sollte eher  $\sim 320 \text{ nm}$  liegen  
 $\sim 300 \text{ nm}$

2.  $2p_{1/2} \leftrightarrow 2d_{3/2} \quad \checkmark$

$2d_{5/2} \leftrightarrow 2f_{7/2} \quad \checkmark$

$2p_{3/2} \leftrightarrow 2d_{5/2} \quad \checkmark$

$2p_{3/2} \leftrightarrow 2d_{3/2} \quad \checkmark$

$2p_{3/2} \leftrightarrow 2s_{1/2} \quad \checkmark$

$2p_{1/2} \leftrightarrow 2s_{1/2} \quad \checkmark$



II) für  $S$  sind mögliche Werte:  $S=1$  oder  $S=0$  ✓  
 falls  $S_1 = \frac{1}{2}, S_2 = \frac{1}{2}$

Eigenzustände:  $\hat{S}^2 \psi_{S_1, S_2} = \hbar^2 S(S+1) \psi_{S_1, S_2}$

$\Rightarrow \psi_{0,0}$  mit EW 0

$$\left. \begin{array}{l} \psi_{1,-1}, \text{ EW: } 2\hbar^2 \\ \psi_{1,0}, \text{ EW: } 2\hbar^2 \\ \psi_{1,1}, \text{ EW: } 2\hbar^2 \end{array} \right\} \text{3-fach entartet} \quad \checkmark$$

2. Analog zu Wasserstoff gilt hier:

$$E_0^{\text{H}} = -\frac{1}{2} 2^2 m_e c^2 = -13,6 \text{ eV}$$

$$\Rightarrow E_0 = 2^2 E_0^{\text{H}} = 4 E_0^{\text{H}} = -54,4 \text{ eV} \quad \checkmark$$

Poteniale Energie von zwei Ladungsverteilungen ist gegeben durch

Woher?

$$\begin{aligned} W_{\text{ges}} &= \frac{1}{4\pi\epsilon_0} \int d^3r_1 \int d^3r_2 \frac{\rho(\vec{r}_1)\rho(\vec{r}_2)}{|\vec{r}_1 - \vec{r}_2|} \\ &= e^2 \frac{8}{\pi^3 a_0^6 \epsilon_0} \int e^{-\frac{4r_1}{a_0}} e^{-\frac{4r_2}{a_0}} \frac{1}{|\vec{r}_1 - \vec{r}_2|} d^3r_1 d^3r_2 \\ &= \frac{8e^2}{\epsilon_0 \pi^3 a_0^6} \int \frac{e^{-\frac{4r}{a_0}}}{|\vec{r}_1 - \vec{r}_2|} d^3r_1 d^3r_2 \end{aligned}$$

$$\rho(\vec{r}_i) = e |\psi(\vec{r}_i)|^2$$

$$\psi(\vec{r}_i) = \sqrt{\frac{8}{\pi a_0^3}} e^{-\frac{2r}{a_0}}$$

$$\rho(\vec{r}_i) = e \frac{8}{a_0^3 \pi} e^{-\frac{4r}{a_0}}$$

$$= \frac{8e^2}{\epsilon_0 \pi^3 a_0^6} \cdot \frac{20 \pi^2 a_0^5}{45} = \frac{e^2 \cdot 20}{2 \cdot 64 \cdot \pi \cdot a_0 \cdot \epsilon_0} = \frac{5}{32\pi} \frac{e^2}{a_0 \epsilon_0} = 2,725 \cdot 10^{-13} \text{ J}$$

$= 17,01 \text{ eV}$   
 Faktor 2 daneben

$$\Rightarrow E_0 + E_c = -37,39 \text{ eV} \quad (\checkmark)$$

Ist deutlich geringer als der experimentelle Wert von  $-24,6 \text{ eV}$ , d.h. stärker gebunden. Die schwächere Bindung rührt daher, dass durch das Feld der Elektronen das Feld des Kerns zum Teil abgeschirmt wird ( $\rightarrow$  nicht mehr so stark gebunden). Dies haben wir nicht (V)

bemüht. Hier folgt aber aus einem abgered. Feld eine stärkere Bindung. (Das liegt am Faktor 2 oben). Eigentlich ist das abgered. Feld schwächer als die schwächere Bindung mit  $E_0 + E_c \approx 77 \text{ eV}$



$$3. \quad 1s^2 \ ^1S_0 \rightarrow n=1, \quad l=0, \quad j=0 \Rightarrow \underline{S=0}$$

bei elektrischem Dipolübergang muss gelten:

$$\Delta l = 1, \quad \Delta m = 0, \pm 1 \quad \checkmark$$

$$\Rightarrow l' = 1, \Rightarrow n' = 2 \quad \checkmark$$

$1s^2 2s^2 \ ^1P_1$   $2p^2 \ ^1P_1$  Zustand mit niedrigster Energie.

*Reduzierte Energie*

5.5/6



$$\text{III) } \hat{F}^2 = (\hat{I} + \hat{J})^2 \quad , \quad [A B, C] = A [B, C] + [A, C] B \quad \checkmark$$

$$\begin{aligned}
 1. \quad [\hat{F}^2, \hat{J}^2] &= [\hat{I}^2 + 2\hat{I}\hat{J} + \hat{J}^2, \hat{J}^2] = \underbrace{[\hat{I}^2, \hat{J}^2]}_{0, \text{ versch. P\"{a}nne} \checkmark} + 2[\hat{I}\hat{J}, \hat{J}^2] + \underbrace{[\hat{J}^2, \hat{J}^2]}_{0, \text{ trivial} \checkmark} \\
 &= 2([\hat{I}_x \hat{J}_x + \hat{I}_y \hat{J}_y + \hat{I}_z \hat{J}_z, \hat{J}^2]) \\
 &= 2([\hat{I}_x \hat{J}_x, \hat{J}^2] + [\hat{I}_y \hat{J}_y, \hat{J}^2] + [\hat{I}_z \hat{J}_z, \hat{J}^2]) \\
 &= 2([\hat{I}_x, \hat{J}^2] \hat{J}_x + \hat{I}_y [\hat{J}_y, \hat{J}^2] + [\hat{I}_y, \hat{J}^2] \hat{J}_y + \hat{I}_z [\hat{J}_z, \hat{J}^2] + [\hat{I}_z, \hat{J}^2] \hat{J}_z) \\
 &= 2([\hat{I}_x, \hat{J}^2] \hat{J}_x + [\hat{I}_y, \hat{J}^2] \hat{J}_y + [\hat{I}_z, \hat{J}^2] \hat{J}_z) \\
 &\quad \underbrace{[\hat{I}_x, \hat{J}_x^2 + \hat{J}_y^2 + \hat{J}_z^2]}_{0, \text{ weil } [\hat{I}_i, \hat{J}_m] = 0} \xrightarrow{\text{analog}} \underline{\underline{0}} \checkmark
 \end{aligned}$$

$$\begin{aligned}
 [\hat{F}^2, \hat{I}^2] &= [\hat{I}^2 + 2\hat{I}\hat{J} + \hat{J}^2, \hat{I}^2] = 2[\hat{I}\hat{J}, \hat{I}^2] \\
 &= 2([\hat{I}_x \hat{J}_x + \hat{I}_y \hat{J}_y + \hat{I}_z \hat{J}_z, \hat{I}^2]) \\
 &= 2([\hat{I}_x, \hat{I}^2] \hat{J}_x + \hat{I}_y [\hat{J}_y, \hat{I}^2] + [\hat{I}_y, \hat{I}^2] \hat{J}_y + \hat{I}_z [\hat{J}_z, \hat{I}^2] + [\hat{I}_z, \hat{I}^2] \hat{J}_z) \\
 &= 2([\hat{I}_x, \hat{I}^2] \hat{J}_x + \hat{I}_y [\hat{J}_y, \hat{I}^2] + [\hat{I}_z, \hat{I}^2] \hat{J}_z) \\
 &\quad \underbrace{[\hat{J}_x, \hat{I}_x^2 + \hat{I}_y^2 + \hat{I}_z^2]}_{0, \text{ weil } [\hat{J}_i, \hat{I}_m] = 0} \xrightarrow{\text{analog}} \underline{\underline{0}} \checkmark
 \end{aligned}$$

$$\begin{aligned}
 [\hat{F}^2, \hat{I}\hat{J}] &= [\hat{I}^2 + 2\hat{I}\hat{J} + \hat{J}^2, \hat{I}\hat{J}] \\
 &= \underbrace{[\hat{I}^2, \hat{I}\hat{J}]}_{0, \text{ siehe 2.}} + 2\underbrace{[\hat{I}\hat{J}, \hat{I}\hat{J}]}_{= 0, \text{ trivial}} + \underbrace{[\hat{J}^2, \hat{I}\hat{J}]}_{0, \text{ siehe 1.}} \\
 &= \underline{\underline{0}} \checkmark
 \end{aligned}$$



2. Die guten Quantenzahlen (gleichzeitig Schatz bestimmbar und damit auch System der Eigenfunktionen, das Basis bildet)

sind nach Aufgabe 1. :  $n, l, s, j, i, f, m_j$  ✓

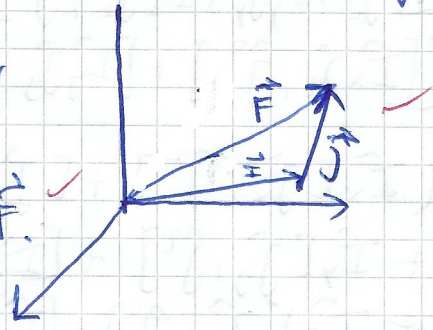
da  $\hat{I} \cdot \hat{j} \propto \hat{H}_{HFS}$  ✓ und dies nach den Vertauschungsrelationen gilt.

gleichzeitig Schatz bestimmbar

sind: Länge  $\hat{I}, \hat{j}, \hat{F}$  und

eine Komponente von  $\hat{F}$ .

(eine Komponente von  $\hat{j}$  und  $\hat{I}$ , falls  $\hat{H}_{HFS}$  nicht betrachtet wird?)



$$3. \hat{F}^2 = (\hat{I} + \hat{j})^2 = \hat{I}^2 + \hat{j}^2 + 2\hat{I} \cdot \hat{j}$$

$$\Leftrightarrow \hat{I} \cdot \hat{j} = \frac{1}{2} (\hat{F}^2 - \hat{I}^2 - \hat{j}^2) \quad \checkmark$$

$$E_{HFS} = \langle \hat{H}_{HFS} \rangle = \left( \gamma_{fms} \mu_B \hbar \langle \hat{I} \cdot \hat{j} \rangle \right)$$

$$= \left( \gamma_{fms} \mu_B \hbar, \frac{A}{2} \hbar^2 [f(f+1) - j(j+1) - i(i+1)] \gamma_{fms} \mu_B \hbar \right)$$

$$= \frac{A \hbar^2}{2} [f(f+1) - j(j+1) - i(i+1)] \quad \checkmark$$

$$4. n=1, l=0, s=1/2, i=1/2 \Rightarrow j=1/2$$

$$\Rightarrow f=0, 1, \text{ da } |j-i| \leq f \leq j+i \quad \checkmark$$

$$E_{HFS} = h \cdot 1,4 \text{ GHz}$$

$$E_H = \frac{f}{2} k_B T, \quad f=3 \text{ bei Atomen}$$

$$\Leftrightarrow T = \frac{2}{3k_B} E_H = 44,8 \text{ mK} \quad \checkmark$$

5.